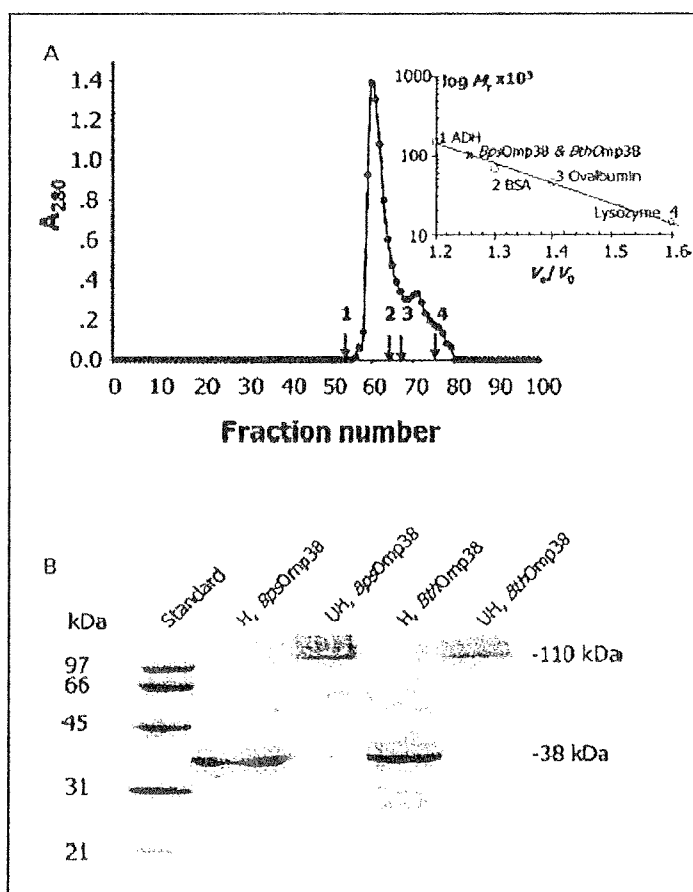


### บทที่ 3

## ผลการทดลองและข้อวิจารณ์

### 3.1. การเตรียม outer membrane proteins จากเชื้อ *B. pseudomallei* และ *B. thailandensis*

ผู้วิจัยได้ทำการสกัด outer membrane proteins จากส่วน crude peptidoglycan ของเชื้อ *B. pseudomallei* และ *B. thailandensis* ดังวิธีที่ได้อธิบายในส่วนของการทดลอง หลังจากการทำ SDS extraction และได้ทำการทำ SDS-PAGE แยก protein ที่ได้จากส่วน peptidoglycan โดยวิธี size-exclusion chromatography คอลัมน์ที่ใช้คือ Sephadryl S-200<sup>®</sup> HR ขนาด 1.5 cm x 80 cm ที่ได้ equilibrate ด้วยสารละลายน้ำฟอร์ 10 mM Tris-HCl, pH 8.0 ที่มี 1% SDS และ 0.5 M NaCl ทำการเก็บ fraction ละ 2 ml และดักหา protein ของแต่ fraction ด้วยค่า  $A_{280}$  ดังกราฟในรูปที่ 3.1A พนทว่า peak ของ protein ออกมานะในช่วง fraction ที่ 55-80 โดยมียอด peak อยู่ที่ fraction ที่ 61 เมื่อหาน้ำหนักโมเลกุลของ protein ที่ยอด peak จากกราฟมาตราชานพบว่ามีค่าเท่ากับ 110 kDa



รูปที่ 3.1 การทำบริสุทธิ์และการหาน้ำหนักโมเลกุลของ outer membrane protein ที่สกัดจาก crude peptidoglycan ของเชื้อ *B. pseudomallei* และ *B. thailandensis* (แหล่งที่มา: Siripatetawee et al., Biochem J, 2004a)

(A) การทำบริสุทธิ์และการหาน้ำหนักโมเลกุลด้วย gel filtration chromatography โดยใช้คอลัมน์ Sephadryl S200<sup>®</sup> HR และ (B) การวิเคราะห์น้ำหนักโมเลกุลของ protein ด้วย SDS-PAGE

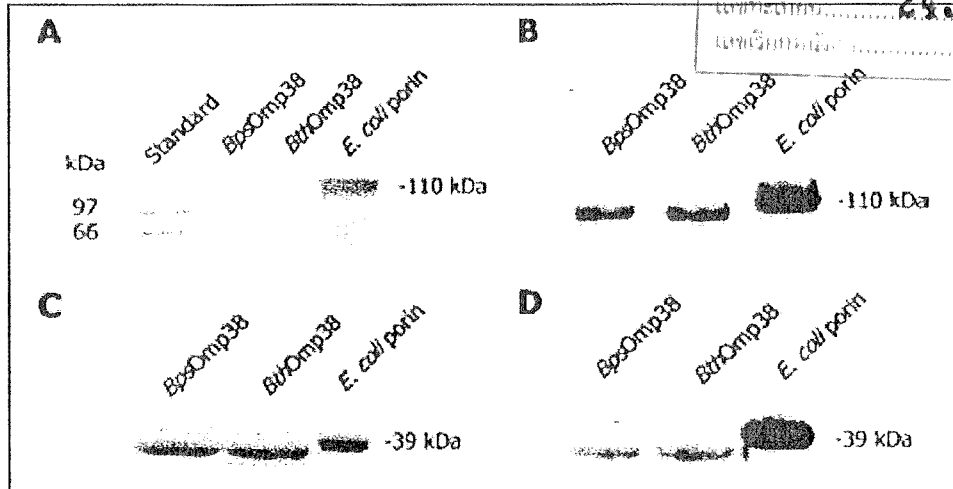
เมื่อนำ fraction ที่มีโปรตีนที่ได้จากการทำบริสุทธิ์ด้วยกอลัมน์ Sephadryl S200<sup>®</sup>HR ไปวิเคราะห์โดย SDS-PAGE พบว่ามีหนึ่งโน้มเลกุลของโปรตีนตัวอย่างที่ด้มที่ 95 °C ก่อนการวิเคราะห์จะอยู่ที่ 38 kDa ส่วนหนึ่งหนึ่งโน้มเลกุลของโปรตีนตัวอย่างที่ไม่ได้ด้มอยู่ที่ 110 kDa ดังแสดงในรูปที่ 3.1B ผลการทดลองแสดงให้เห็นว่า outer membrane protein ที่เตรียมได้น่าจะมีลักษณะเป็น trimeric protein ที่ประกอบด้วยหน่วยย่อยที่มีน้ำหนักโน้มเลกุลที่เท่า ๆ กันคือ 38 kDa ผลการทดลองที่ได้กล้าบคลึงกับการศึกษาในพอร์เชินชnid อื่น ๆ เช่น *E. coli* OmpF (Cowan et al., 1992) ที่พบว่าโปรตีน OmpF จะทนต่อการเสียสภาพด้วย SDS แต่จะไวต่อความร้อนในการศึกษาต่อไปจะอ้างถึงโปรตีนที่สกัดได้จาก outer membrane ของ *B. pseudomallei* และ *B. thailandensis* ว่าเป็น BpsOmp38 และ BthOmp38 ตามลำดับ จากการเลือกเชื้อ 1 ลิตร พบว่าให้ปริมาณโปรตีนบริสุทธิ์ 800 µg และ 600 µg สำหรับ *B. pseudomallei* และ *B. thailandensis* ตามลำดับ (ตารางที่ 3.1)

ตารางที่ 3.1 ผลการทำบริสุทธิ์ของโปรตีน BpsOmp และ BthOmp38 ที่ขั้นตอนต่าง ๆ (แหล่งที่มา: Siritapetawee et al., Biochem J, 2004a)

Purification step	<i>B. pseudomallei</i> (mg)	Yield (%)	<i>B. thailandensis</i> (mg)	Yield (%)
1. Crude peptidoglycan	492.0	100	296.0	100
2. OM fraction	175.4	36	107.4	36
3. Peptidoglycan-associated fraction				
0.5 % (w/v) SDS extraction	5.4	1.1	3.4	1.1
2 % (w/v) SDS and 0.5 M NaCl extraction	5.0	1.0	3.0	1.0
4. Sephadryl S200 filtration and dialysis	0.8	0.2	0.6	0.2

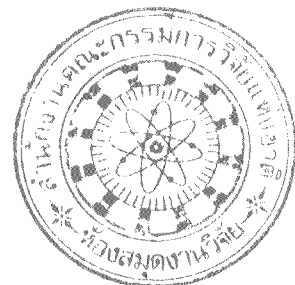
### 3.2. การวิเคราะห์โปรตีนด้วยเทคนิค western blot analysis

ทำการผลิต polyclonal antibodies ที่จำเพาะต่อโปรตีน Bps/Bth Omp38 จากแคนโปรตีนที่ตัดแห้ง 38 kDa จาก 12% SDS-PAGE gel ผลการวิเคราะห์ทาง immunoblotting พบว่า antiserum ที่เตรียมได้สามารถ cross react กับโปรตีน Bps/BthOmp38 ทั้งขนาด 110 kDa และ 38 kDa แต่ไม่ cross react กับโปรตีนมาตรฐานที่ใช้เป็น MW marker เลย และ ไม่พบว่า pre-immune serum ทำปฏิกิริยากับโปรตีน Omp38 ทั้งสองตัว แสดงว่า polyclonal antibodies ที่ผลิตขึ้นมีความจำเพาะต่อทั้ง trimeric Omp38 และ monomeric Omp38 ดังแสดงในรูปที่ 3.2 นอกจากนี้ ยังพบว่า anti Bps/BthOmp38 ที่เตรียมได้สามารถ cross react กับ *E. coli* OmpF และ *B. cepacia* Omp ซึ่งแสดงให้เห็นว่าโปรตีน Omp ที่สกัดจาก outer membrane ของ *B. pseudomallei* และ *B. thailandensis* น่าจะมีโครงสร้างและหน้าที่สอดคล้องกับพอร์เชินจาก *E. coli* และพอร์เชินจาก *B. cepacia*



รูปที่ 3.2 การวิเคราะห์โปรตีน Bps/Bth Omp38 ด้วยเทคนิค immunoblotting (แหล่งที่มา: Siritapetawee et al., Biochem J, 2004a)

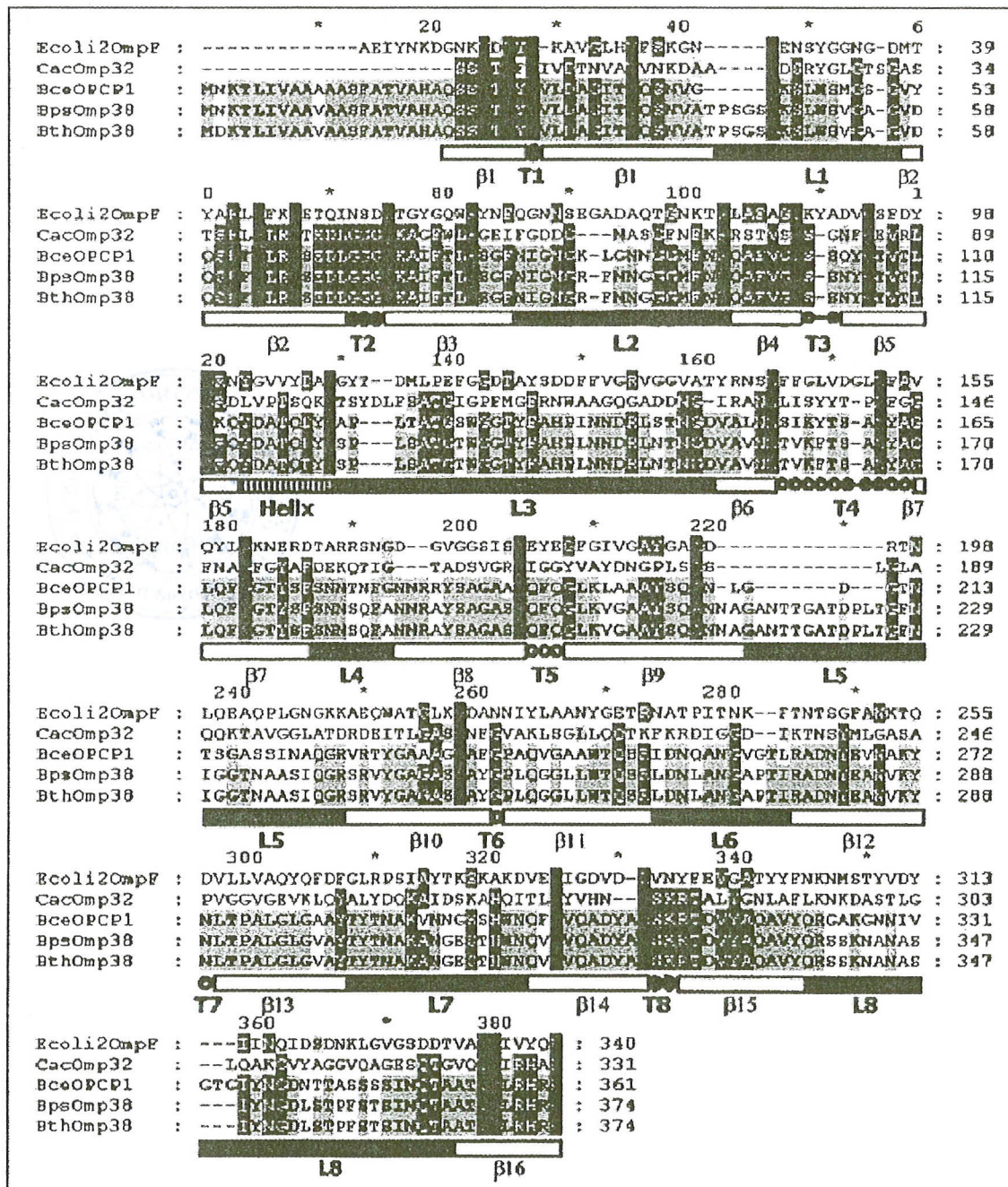
- (A) SDS-PAGE แสดงตำแหน่งของ trimeric Omp38 ที่ 110 kDa
- (B) Immunoblot ของ trimeric Omp38
- (C) SDS-PAGE แสดงตำแหน่งของ monomeric Omp38 ที่ 38 kDa
- (D) Immunoblot ของ monomeric Omp38



### 3.3. การแยกยืนยัน การโคลนยืนยันและการหาลำดับนิวคลีโอไทด์

ผู้วิจัยได้ทำการตรวจหาเชิง Omp38 โดยการย่อยແตนโปรตีน BpsOmp38 บน SDS-PAGE gel แล้วสกัดเอา tryptic peptides ที่ได้ไปวิเคราะห์ทาง mass-to-charge ( $m/z$ ) ของเพปไทด์ที่สกัดได้ด้วย MALDI-TOF MS หรือ capillary HPLC MS และทำ peptide mass fingerprinting เพื่อตรวจหาโปรตีนที่มี  $m/z$  ที่สอดคล้องกันใน Swiss-Prot database พบว่ามีชื่นของเพปไทด์ทั้งหมด 8 เพปไทด์ คือ TDVYAQAVYQR, GSEDLGGGLK, SLWSVGAGVDQSR, LNTNGDVAVNNNTVK, AYSAGASYQFQQLK, QAFVGLSSNYGTVTLGR, AIFTLESGFNIGNGR, และ NANASIYNGDLSTPFSTSINQTAATVGLR ที่ตรงกับเพปไทด์ของพอร์ติน OpcP1 ของเชื้อ *B. cepacia* จึงใช้ชื่นของ OpcP1 มาทำ blast search พบว่าตรงกับ open reading frame หนึ่งใน contig 836 ในจีโนมของ *B. pseudomallei* ([http://www.ncbi.nlm.nih.gov/sutils/genom\\_table.cgi](http://www.ncbi.nlm.nih.gov/sutils/genom_table.cgi)) ซึ่งประกอบด้วย 1,112 นิวคลีโอไทด์ จึงทำ PCR amplification ของ ORF ทั้งกล่าวจากจีโนมของ *B. pseudomallei* โดย sense primer ที่ใช้มีลำดับของนิวคลีโอไทด์เป็น 3'- ATGAACAAAGACTCTGATTGTTGCA-5' และ antisense primer มีลำดับของนิวคลีโอไทด์เป็น 3'- GAAGCGGTGACGCAGACCAA-5' และใช้คู่ primer เดียวกันทำ PCR amplification ของยีนในจีโนมของ *B. thailandensis* แล้วโคลนยืนยันทั้งสองที่ให้ข้อมูลว่า *BpsOmp38* และ *BthOmp38* เข้าไปใน pGEM<sup>®</sup>-T vector แล้วส่งรีคอมบิเนชันที่พลาสมิดที่ได้ไปตรวจหาลำดับนิวคลีโอไทด์ของยีนทั้งสองโดยการทำ double stranded nucleotide sequencing และจึง deposit ลำดับนิวคลีโอไทด์ของยีนทั้งสองใน GenBank database โดยมี GenBank accession numbers AY312416 และ AY312417 สำหรับ *BpsOmp38* และ *BthOmp38* ตามลำดับ การเปรียบเทียบลำดับของนิวคลีโอไทด์พบว่า yiein *BpsOmp38* มีความเหมือนกับ yiein *BthOmp38* อยู่ 98% แต่เมื่อเปรียบเทียบเทียบลำดับ

ของกรดอะมิโนพบว่าโปรตีนทั้งสองมีลำดับของกรดอะมิโนเหมือนกันเกือบ 100% ยกเว้นกรดอะมิโนตัวเดียวที่ต่างกันคือ กรดอะมิโน Asparagine ใน BpsOmp38 เป็น Aspartic acid ใน BthOmp38 รูปที่ 3.3 แสดงการเปรียบเทียบกรดอะมิโนของ BpsOmp38 และ BthOmp38 กับพอร์ติน B. cepacia OPCP1, C. acidovolans Omp32 และ E. coli OmpF

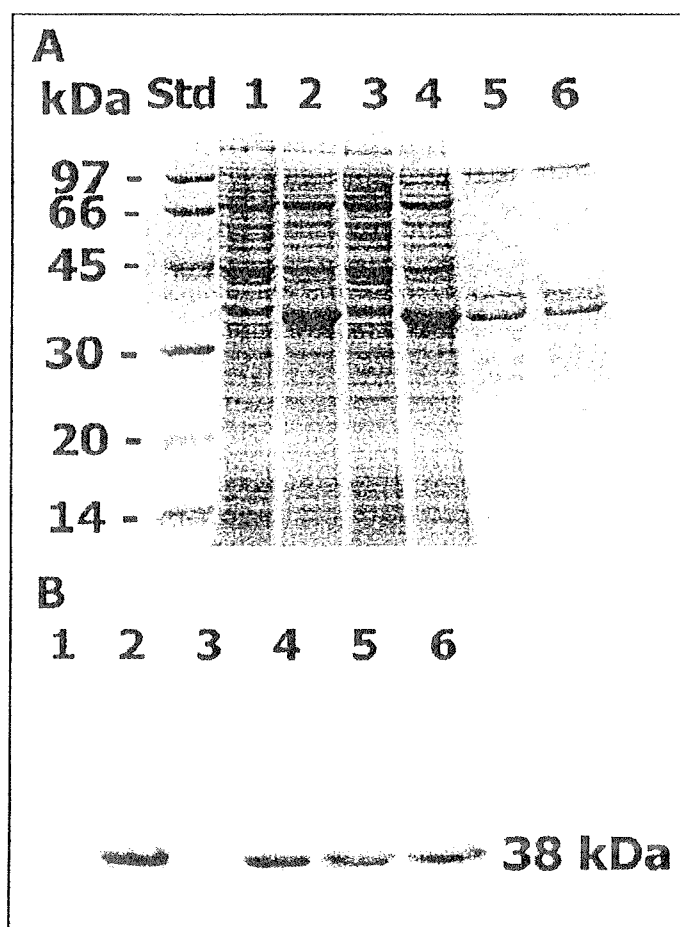


รูปที่ 3.3 การเปรียบเทียบกรดอะมิโนของ Bps/Bth Omp38 กับพอร์ตินของแบคทีเรียอื่น ๆ (แหล่งที่มา: Siritapetawee et al., Biochem J, 2004a)

โครงสร้างทุติยภูมิแสดงดังนี้ open box แสดง β strand; closed box แสดง loop; hatched box แสดง α helix และ circle แสดง turn

### 3.4. การศึกษาการแสดงออก และการทำรีสูทช์ การทำ refolding ของรีคอมบิแนนท์โปรตีนใน *E. coli*

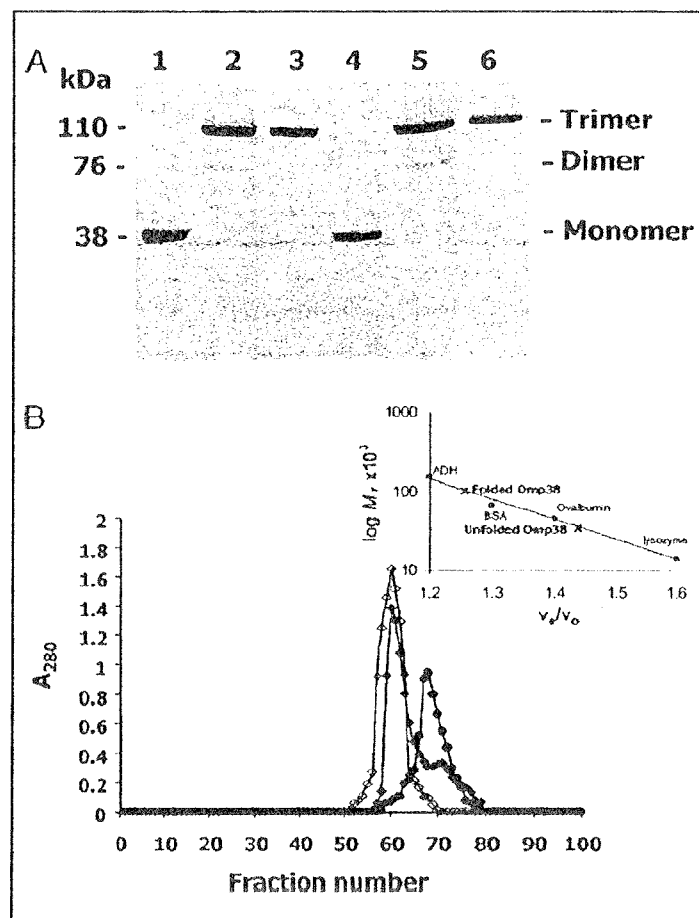
เมื่อโคนยืน Bps/Bth Omp38 เข้าไปในพลาสมิด pET23d(+) ทำให้ได้รีคอมบิแนนท์พลาสมิดคือ pET23d(+) -BpsOmp38 และ pET23d(+) -BthOmp38 ได้ทำการศึกษาการแสดงออกของยืนใน *E. coli* Origami(DE3) หลังจากได้เลี้ยงเซลล์ที่มีพลาสมิดที่มียืน Omp38 อยู่จนถึงระยะ log phase ( $OD_{600} \sim 0.6$ ) ทำการเหนี่ยวนำการสร้างโปรตีน Omp38 ด้วย 0.4 mM IPTG ที่ 37 °C เป็นเวลา 1.5 ชั่วโมง แล้วนำเซลล์มาทำให้แตกแล้ววิเคราะห์โดย SDS-PAGE พบว่าแอบนโปรตีนที่มีความเข้มข้นมากกว่าเซลล์ที่มีรีคอมบิแนนท์พลาสมิดแต่ไม่ได้ถูกเหนี่ยวนำด้วย IPTG อยู่ที่ตำแหน่งประมาณ 30-45 kDa ดังแสดงในรูปที่ 3.4A ซึ่งแอบนโปรตีนนี้สามารถเกิด cross react กับ anti BpsOmp38 polyclonal antibodies ได้แอบนสัญญาณเข้มเพียงแอบนเดียวดังแสดงในรูปที่ 3.4B จึงสรุปว่าโปรตีนที่ *E. coli* สร้างขึ้นเป็นรีคอมบิแนนท์ Bps/Bth Omp38



รูปที่ 3.4 การศึกษาการแสดงออกของรีคอมบิแนนท์ Bps/Bth Omp38 โดย *E. coli* BL21 (Origami) (แหล่งที่มา: Siritapetawee et al., Biochem J, 2004b)

(A) การวิเคราะห์ด้วย SDS-PAGE (B) Western blotting ช่องที่ 1 แอบนโปรตีนมาตรฐาน; ช่องที่ 2, 4 เซลล์ที่มีรีคอมบิแนนท์พลาสมิดของยืน Bps/BthOmp38 แต่ไม่ได้เติม IPTG; ช่องที่ 3, 5 เซลล์ที่มีรีคอมบิแนนท์พลาสมิดของยืน Bps/BthOmp38 ที่เติม IPTG; ช่องที่ 6, 7 native Bps/BthOmp38 ที่ทำรีสูทช์แล้ว

เมื่อทำการผลิตรีคอมบิเนนท์ในปริมาณมากพบว่าเซลล์ผลิตโปรตีนในรูป inclusion bodies ซึ่งไม่ละลายน้ำ จึงได้ทำบริสุทธิ์ โดยนำส่วนของตะกอน inclusion bodies นำมาละลายใน denaturing buffer ที่มี 8M urea ใน 10 mM Tris-HCl, pH 8.0 หลังจากปั่นตกรตะกอนเอาส่วนที่ไม่ละลายออก แล้วผ่านส่วน insoluble ใน kolamn ที่มีคุณสมบัติเป็น strong cation exchanger (SP Fast Flow<sup>TM</sup> HiTrap) ตามด้วย weak anion exchanger (DEAE Fast flow HiTrap<sup>TM</sup>) นำส่วนของโปรตีนที่ถูกชะตัวแยกอีกในช่วง 0-0.3 M NaCl มาวัดหาค่าโปรตีนที่  $A_{280}$  และวิเคราะห์ความบริสุทธิ์ต่อด้วย SDS-PAGE หลังจากนั้นทำการ refold โปรตีนที่ถูกทำให้เสียสภาพด้วย 8M urea ด้วยการเติมสารละลาย refolding solution (20 mM Tris-HCl, pH 7.0 ที่มี 10% (w/v) Zwittergent<sup>®</sup> 3-14, 200 mM NaCl, 20 mM CaCl<sub>2</sub>, 10 mM EDTA และ 0.02% NaN<sub>3</sub>) ในปริมาตร 1:1 และตั้งสารละลายโปรตีนใน 10% Zwittergent ทึ้งไว้ข้ามคืนที่อุณหภูมิห้องเพื่อให้กระบวนการ folding เกิดขึ้นอย่างช้าๆ แล้วนำมาวิเคราะห์การสร้างรูปไตรเมอร์ขนาด 110 kDa



รูปที่ 3.5 การทำ refolding ของ Bps/Bth Omp38 (แหล่งที่มา: Siritapetawee et al., Biochem J, 2004b)  
 (A) SDS-PAGE แสดงรูปไตรเมอร์ของโปรตีนที่ได้จากการ refold ด้วย 10% Zwittergent ช่องที่ 1, 4 โปรตีนไม่ไตรเมอร์ Bps/Bth Omp38 ก่อนทำ refolding; ช่องที่ 2, 5 โปรตีนไตรเมอร์ Bps/Bth Omp38 หลังทำ refolding; ช่องที่ 3, 6 โปรตีนที่ถูก refold และผ่านการต้มที่ 95 °C นาน 5 นาที (B) การหาหนักโมเลกุลของโปรตีนที่ refold ด้วย kolamn Sephacryl-S200 HR gel filtration

รูปที่ 3.5A แสดงผลการวิเคราะห์ด้วย SDS-PAGE การเกิด refolding ของ Omp38 ด้วย พนว่าโปรตีนส่วนใหญ่เกิดการ refold จากรูปโน้มเอียงขนาด 38 kDa ไปเป็นรูปไตรเมอร์ขนาด 110 kDa ส่วนของแอนโพรตีนขนาดประมาณ 76 kDa แสดงถึงคำแนะนำของโปรตีนไคเมอร์ที่เกิดขึ้นในปริมาณเล็กน้อย ผลการทดลองที่น่าสังเกตุคือถ้าต้มโปรตีนที่ 95 °C เป็นเวลา 5 นาที จะทำให้โปรตีนเปลี่ยนรูปเป็นไตรเมอร์อย่างสมบูรณ์ (ช่องที่ 3 และ 6) ส่วนรูปที่ 3.5b แสดงการหาหน้าหนักโน้มเลกูลของ refolded Bps/Bth Omp38 โดยโคมาราโอดกราฟฟิ gel filtration พนว่า โปรตีนสามารถคงรูปไตรเมอร์หลังจากผ่านคอลัมน์ Sephadryl S-200 HR ที่มีความเข้มข้นของ Zwittergent ลดลงจาก 10% เป็น 0.05% น้ำหนักโน้มเลกูลที่ได้จากการหาจากกราฟมาตราฐานคือ ~100 kDa ซึ่งสอดคล้องกับหน้าหนักโน้มเลกูลของ Bps/Bth Omp38 ที่สักดิ้นจาก outer membrane ของเชื้อ *B. pseudomallei* และ *B. thailandensis*

### 3.5. การยืนยันการผลิตรีคอมบินันท์โปรตีน Omp38 โดยวิธี MALDI-TOF MS

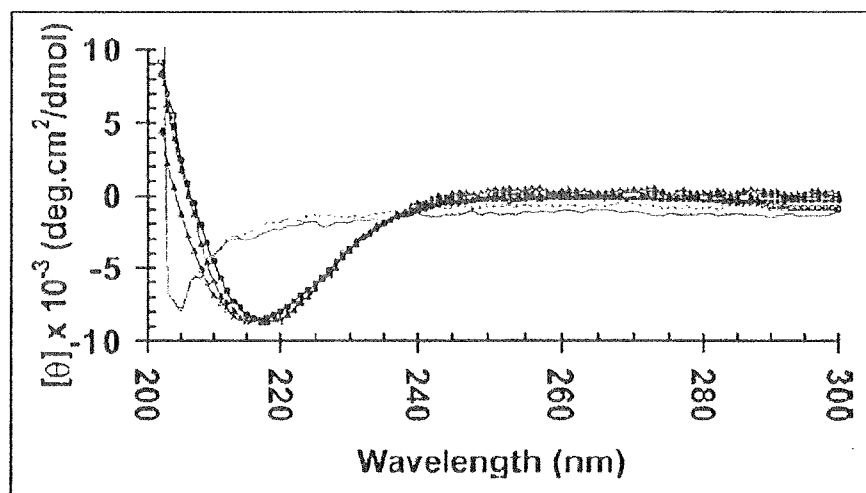
ในการตรวจสอบการแสดงออกของรีคอมบินันท์โปรตีน ผู้วิจัยได้ตัดแอบโปรตีนขนาด 38 kDa แล้วทำการย้อมในแผ่น SDS-PAGE gel ด้วยเอนไซม์ทริปซินแล้วสักดิ้นอาเพปป้าทีด้อกมาวิเคราะห์ด้วย MALDI-TOF และ submit ค่า m/z ของเพปป้าทีด้อกที่ได้ทั้งหมดใน Swizz-Prot database และ nucleotide database พนว่ามีเพปป้าทีด้อก 7 เพปป้าทีด้อกที่ให้ค่า monoisotopic mass ตรงกับโปรตีน Omp38 จาก *B. pseudomallei* และ *B. thailandensis* ดังแสดงในรูปที่ 3.6 ผลการทดลองที่ได้ประกอบกับผลของ immunoblotting ทำให้สรุปว่ารีคอมบินันท์โปรตีนที่ *E. coli* (Origami) ผลิตขึ้นเป็น Bps/Bth Omp38

<b>P1</b> QSSVTLYGVLDAGITYQSNVATPSGSGK <u>SLWSVGAGV</u> DQSR <u>FGLRGSEDLGG</u>	<b>P2</b> GL <u>KAIETLES</u> GENIGNGRFNNGGGMFN <u>RQAFV</u> GLSSNYGT <u>VTLGRQYDA</u>	<b>P3</b>
		<b>P4</b> TQDYLSPLSATGGGYFAHPLNNDR <u>INTNGDVAVNNTVKFTSANYAGLQFGGT</u>
<b>P5</b> * <b>P6</b> <u>YSFSNNSQFANNR</u> AYSAGASYQFQGLKVGAAYSQANNAGANTTGATDPLTGF		
<b>P7</b> <u>RTDVYAOAVYORSSKNANASIYNGDLSTPFSTSINQTAATVGLRHRF</u>		

รูปที่ 3.6 การตรวจหาโปรตีน Omp38 โดย MALDI-TOF MS (แหล่งที่มา: Siritapetawee et al., Biochem J, 2004b) เพปป้าทีด้อกเดือนได้ P1-P7 คือเพปป้าทีด้อกที่ตรงกับโปรตีน Bps/Bth Omp38 จากการทำ peptide mass fingerprinting

### 3.6. การศึกษาการ folding ของโปรตีน Omp38 โดยวิธี Circular Dichroism (CD) spectroscopy

เพื่อยืนยันว่ารีคอมบิเนนท์ Omp38 มีโครงรูปไตรเมอร์ที่สร้างข่องพอร์อินได้หลังจากทำ folding ได้นำสารตะลایโปรตีน Omp38 มาวิเคราะห์ด้วยเทคนิค CD spectroscopy เพื่อบันทึกโปรตีนก่อนผ่านการ folding และเพื่อบันทึกโปรตีน Omp38 ที่สกัดจากเชื้อ *Burkholderia* โดยตรง รูปที่ 3.7 แสดง CD spectra ของโปรตีน Omp38 ที่สภาวะต่าง ๆ จากรูปจะเห็นว่า Omp38 ที่ได้จากการ refold ด้วย 10% (w/v) Zwittergent มีรูปแบบของ spectrum เมื่อมองกับโปรตีนไตรเมอร์ดั้งเดิม โดย spectra ของทั้งสองโปรตีนให้ peak ที่มีค่าติดลบใกล้ 215 nm ซึ่งแสดงตำแหน่งของโครงสร้างหลักเป็นแบบ  $\beta$ -sheet structure ส่วน spectra ของโปรตีนโนโนเมอร์ที่ทำให้เสียสภาพด้วย urea ให้ peak ที่มีค่าติดลบที่ 205 nm ซึ่งแสดงถึงโครงสร้างแบบ random coil โดยรวมลักษณะ peak ของโปรตีนไตรเมอร์และโนโนเมอร์ที่ได้มีลักษณะเหมือนกับ CD spectra ของไตรเมอร์และโนโนเมอร์ของพอร์อิน OmpA ของ *E. coli* ของนักวิจัยกลุ่มนี้ที่ได้รายงานไว้ก่อนหน้านี้แล้ว (Eisele & Rosenbusch, 1990)

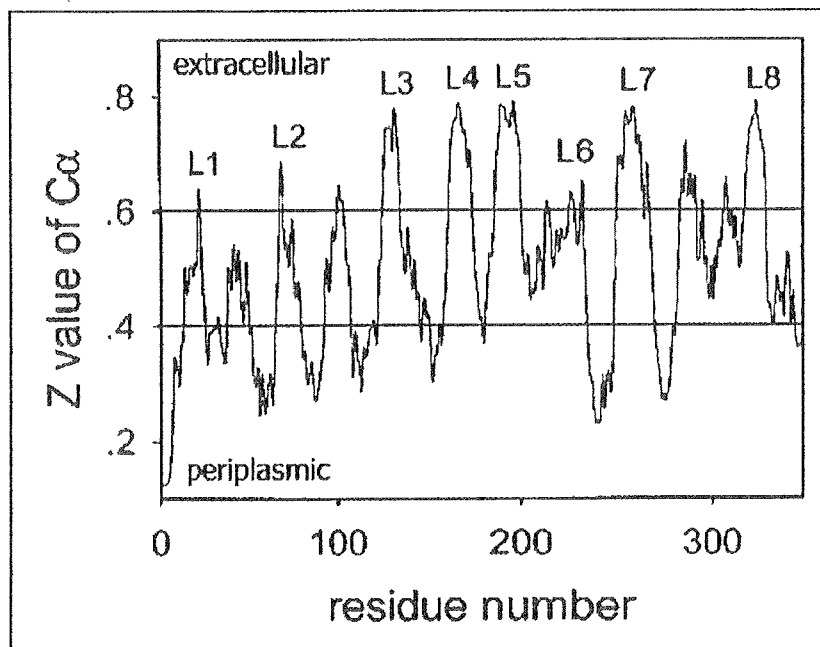


รูปที่ 3.7 CD spectra ของรีคอมบิเนนท์ Bps/Bth Omp38 (แหล่งที่มา: Siritapetawee et al., Biochem J, 2004b)  
สัญลักษณ์ — แสดงโปรตีนที่เสียสภาพของ BpsOmp38 --- แสดงโปรตีนที่เสียสภาพของ BthOmp38; ◇ แสดง native BthOmp38; ◆ แสดง refolded BpsOmp38; □ แสดง native BthOmp38; ■ แสดง refolded BthOmp38

### 3.7. การทำนาย transmembrane domains และการทำนายโครงสร้างสามมิติ

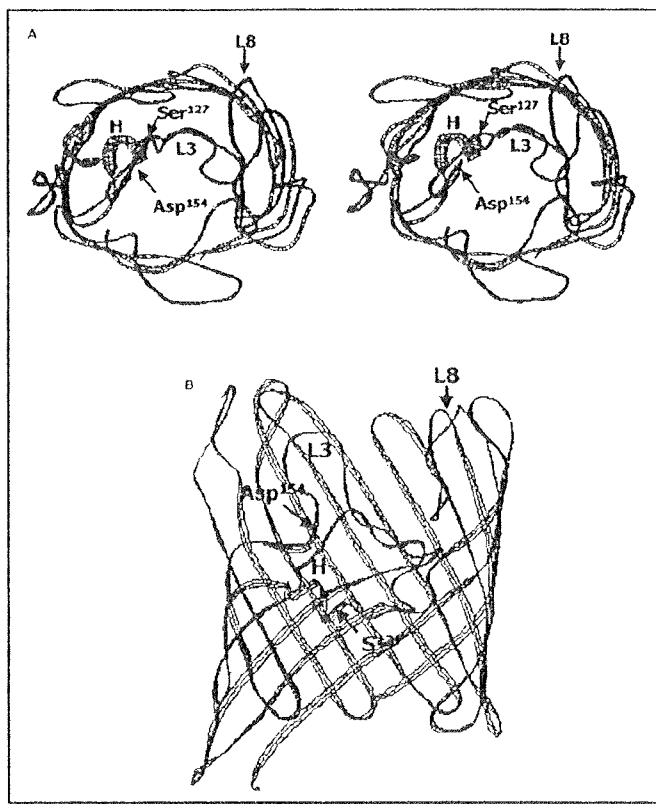
งานวิจัยต่อมาคือการทำนายโครงสร้างของ transmembrane domain ของโปรตีน Bps/Bth Omp38 ตามวิธีของ Diederichs (Diederichs et al., 1998) รูปที่ 3.8 เป็นกราฟความสัมพันธ์ระหว่างค่า Z value ของ  $C_\alpha$  ในช่วง 0-1 กับ residue number ในสายโพลีเพปไทด์ของโปรตีน Bps/Bth Omp38 ค่า Z value จะแสดงตำแหน่งของกรดอะมิโนในเยื่อหุ้มสองชั้นของ outer membrane ถ้าค่า Z value มีค่าน้อยกว่า 0.4 แสดงว่ากรดอะมิโนอยู่ในส่วนของ periplasmic turn แต่ถ้าค่า Z value มีค่าอยู่ในช่วง 0.4 - 0.6 แสดงว่ากรดอะมิโนในตำแหน่งนั้นอยู่ระหว่างเยื่อหุ้มสองชั้นและน่าจะเป็นส่วนของ transmembrane domain ถ้าค่า Z value มีค่ามากกว่า 0.6 แสดงว่ากรดอะมิโนเป็นองค์ประกอบของ loop ที่อยู่ด้านนอก outer membrane จากรูปพบว่าโปรตีน Omp38 ประกอบด้วยสาย  $\beta$ -strand ที่

เป็นส่วนของ membrane crossing ทั้งหมด 16 สาย มีส่วน loop ทั้งหมด 8 loops (L1-L8) และมี periplasmic turn ทั้งหมด 8 เส้น มาประกอบกันเป็นโครงสร้าง  $\beta$ -barrel ที่มี transmembrane domain ทั้งหมด 16 โดเมน



รูปที่ 3.8 กราฟ Diederichs แสดงการทำนาย transmembrane domain ของ Bps/Bth Omp38 (แหล่งที่มา: Siritapetawee et al., Biochem J, 2004a)

รูปที่ 3.9 แสดงผลการทำนายโครงสร้างสามมิติโดยใช้โปรแกรม 123D+ และ Swiss-Model พนว่า โปรตีนนี้ความเหมือนกับพอร์ตินที่เลือกประจุลบ Omp32 (PDB 1e54a) จากเชื้อ *Comamonas acidovolans* (Zeth et al., 2000) มากที่สุด โดยมีเปอร์เซนต์ความเหมือนในแผ่นของโครงสร้างอยู่ 35.8% โปรตีนมีลักษณะเป็น barrel ที่ประกอบด้วยสาย  $\beta$ -strand ทั้งหมด 16 สาย มีส่วนของ loop ทั้งหมด 8 เส้น ซึ่งสอดคล้องกับผลที่ได้จากการทำนาย membrane topology ในรูปที่ 3.8 ส่วน loop ที่ยาวที่สุดคือ Loop3 (L3) ซึ่งประกอบด้วยกรดอะมิโนทั้งหมด 28 ตัว คือ  $\text{Ser}^{127} \rightarrow \text{Asp}^{154}$  ภายในของโครงสร้าง barrel มี  $\beta$  strand สองสายที่วิ่งลักษณะสวนทางกันและที่ปลายของ Loop3 ด้าน N-terminus มีสาย  $\alpha$  helix มีลักษณะเป็นเกลียวเวียนขวา สัน ๆ ประกอบด้วยกรดอะมิโน  $\text{Tyr}^{119} \rightarrow \text{Lue}^{126}$  จากโครงสร้างของ *C. acidovolans* Omp32 พนว่า Loop3 ยื่นเข้าไปในบริเวณกลางช่องและน่าจะทำหน้าที่เป็นตัวกำหนดขนาดของสารที่จะผ่านเข้าออกบางครั้งเรียก Loop3 ว่า ‘the pore-confined loop หรือ eyelet’ (Zeth et al., 2000; Breden et al., 2002 )

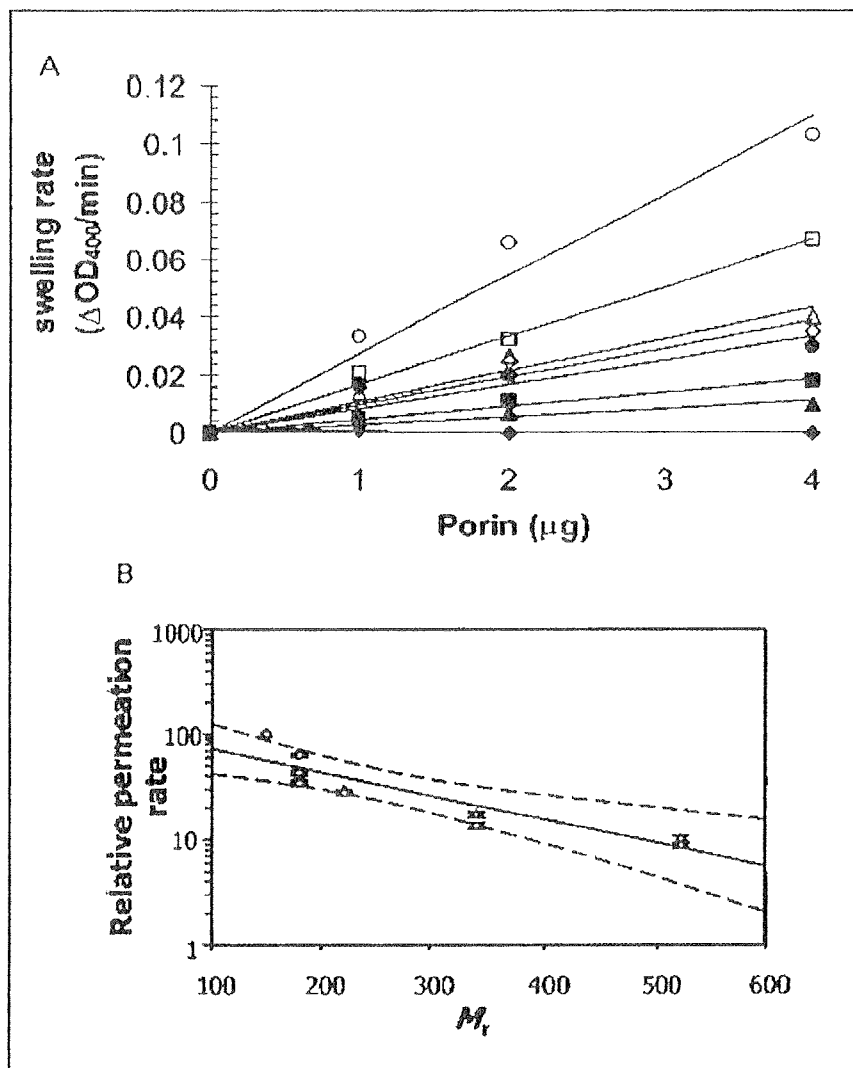


รูปที่ 3.9 การทำนายโครงสร้างสามมิติของ Bps/Bth Omp38 (แหล่งที่มา: Siritapetawee et al., Biochem J, 2004a) โครงสร้างสามมิติทำนายโดยโปรแกรมแสดงโครงสร้างสามมิติ 123D+ และ Swiss-Model และแสดงโครงสร้างด้วยโปรแกรม Swiss-pdb Viewer version 3.7b2 โดยใช้โครงสร้างของ Omp32 จากเชื้อ *C. acidovorans* เป็นโครงสร้างต้นแบบ (A) และแสดงโครงสร้าง stereo จากด้านบน (B) และแสดงโครงสร้างจากด้านข้าง ลูกรูปชี้แสดง Loop8 และ Loop3 ที่เป็น loop ยาว โดยที่ Loop3 ทำหน้าที่เป็นตัวกำหนดขนาดของสารผ่านช่องพอร์sin Omp38

### 3.8. การวัดการนำสารผ่านเข้า-ออกผ่านช่องพอร์sin Omp38 ด้วยวิธี liposome swelling assay

นำโปรตีน *BpsOmp38* และ *BthOmp38* ที่ทำการ refold ด้วย Zwittergent<sup>®</sup> 3-14 มา reconstitute เข้าไปในโพรติโอลิโปโซม เพื่อศึกษาความสามารถในการสร้างช่องพอร์sin ของโปรตีนที่เตรียมได้ใหม่ ๆ หลักการคือถ้าโปรตีนสร้างช่องพอร์sin จะทำให้เกิดการนำสารผ่านเข้า-ออกและส่งผลให้ลิโปโซมแตกชั่วขณะ ซึ่งสามารถวัดหรือตราชาระดับได้จากการกระจายแสงที่ความยาวคลื่น 400 nm ( $OD_{400}$ ) ที่ลดลงเปรียบเทียบกับการแพร์ของสารผ่านช่องพอร์sin การทดลองใช้น้ำตาล *L-arabinose* ที่เป็นน้ำตาลขนาดเล็กที่สุดที่ใช้ในการทดสอบมีน้ำหนักโมเลกุลเป็น 150 kDa พบว่าโปรตีนไตรเมอร์สามารถสร้างช่องพอร์sin ได้โดยให้ค่าอัตราการเต่งของลิโปโซมของน้ำตาล *L-arabinose* สูงที่สุดดังแสดงในรูปที่ 3.10A ส่วนอัตราการเต่งอันเกิดจากน้ำตาลชนิดอื่น ๆ จะลดลงตามน้ำหนักโมเลกุลของน้ำตาลจากน้อยไปมากดังนี้ *D-glucose*  $\cong$  *D-mannose*  $\cong$  *D-galactose* (180 kDa)  $>$  *N-acetylglucosamine* (221 kDa)  $>$  *D-sucrose* (342 kDa)  $>$  *D-mezelzitose* (522 kDa)  $>$  *stachyose* (667 kDa) จากการทดลองพบว่าอัตราการเต่งของลิโปโซมจะเพิ่มขึ้นเปรียบเทียบกับปริมาณของโปรตีนไตรเมอร์ที่ใช้ แสดงว่าการสร้างช่องพอร์sin ไม่เกิดในลักษณะที่เป็น single channel แต่อัตราการเต่งเป็นผลรวมของการแพร์ผ่านช่องที่มีลักษณะเป็น multichannel

นอกจากนี้อัตราการเต่งอันเกิดจากการแพร์ของน้ำตาล *D*-glucose, *D*-mannose และ *D*-galactose มีค่าเกือบเท่ากันเนื่องจากน้ำตาลไม่เดสกุลของน้ำตาลทั้งสามเท่ากัน ส่วนอัตราการเต่งของลิปโซชีมเมื่อใช้น้ำตาล stachyose น้อยที่สุดมีค่าเกือบเป็นศูนย์เนื่องจากน้ำตาลนี้มีขนาดใหญ่ที่สุด และอาจปิดกั้นช่องพอร์รินเอาไว้เกือบทั้งหมด จึงทำนายว่าช่องพอร์รินจะเป็นช่องเลือกผ่านที่ให้สารที่มีขนาดน้อยกว่า 650 kDa แพร์ผ่านได้เท่านั้น กราฟแสดงอัตราการแพร์และแสดงในรูปที่ 3.10B



รูป 3.10 แสดงการแพร์ผ่านของน้ำตาลผ่านช่องพอร์รินโดยวิธี liposome swelling assay (แหล่งที่มา: Siritapetawee et al., Biochem J, 2004a)

### 3.9. การศึกษาการแพร์ผ่านของยาปฏิชีวนะผ่านช่องพอร์ริน Omp38

เชื้อแบคทีเรีย *B. pseudomallei* เป็นเชื้อถั่วโรค Melioidosis ที่มีอัตราการดื้อต่อยาปฏิชีวนะสูงมาก การทดสอบต่อมาก็คือการทดสอบการแพร์ผ่านของยาปฏิชีวนะต่างๆ ผ่านช่องพอร์รินโดยวิธี liposome swelling assay โดยทำการทดสอบกับยาปฏิชีวนะ 7 ตัวด้วยกัน และเทียบอัตราการแพร์ผ่านกับน้ำตาล *L*-arabinose ผลการทดสอบแสดงไว้ในตารางที่ 3.2 โดยรูปแบบของอัตราการแพร์จะเป็นในลักษณะเดียวกับอัตราการแพร์ของน้ำตาลกล่าวคือ

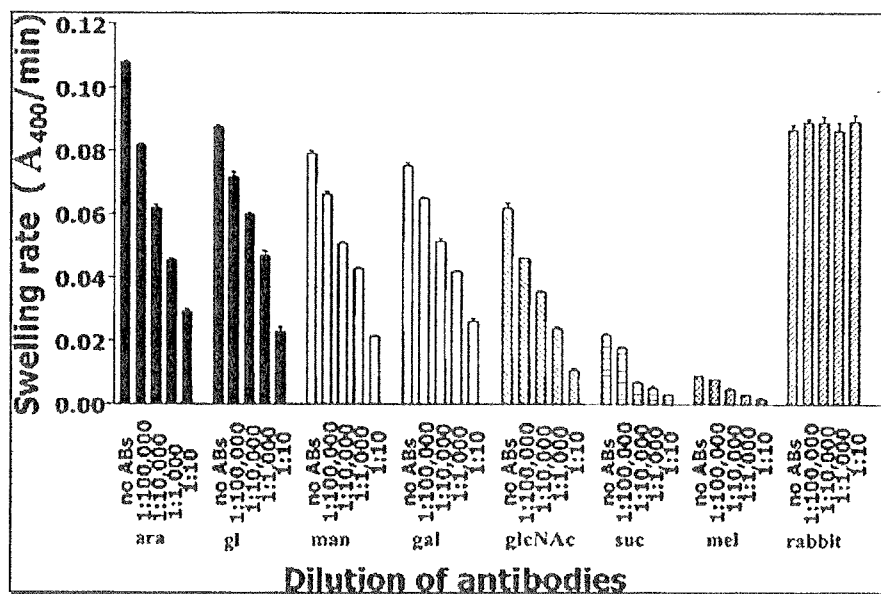
อัตราแพร่ผ่านจะลดลงตามขนาดของยาปฏิชีวนะที่เพิ่มขึ้นดังนี้ meropenem (383 kDa) > ciprofloxacin (421 kDa) > clindamycin (505 kDa) > cefepime (572 kDa) > ceftazidime (637 kDa) ส่วนอัตราการแพร่ผ่านของ gentamicin และ amikacin มีค่าเท่ากับศูนย์เนื่องสารทั้งสองตัวมีขนาดใหญ่โดยมีน้ำหนักโมเลกุลเป็น 709 kDa และ 782 kDa ตามลำดับ ซึ่งน้ำหนักโมเลกุลนี้มีขนาดใหญ่กว่าขนาดของช่องพอร์ที่ได้ทำนายไว้มาก ซึ่งผลการทดลองที่ได้รับอาจช่วยอธิบายความสามารถในการดื้อต่อยาปฏิชีวนะอย่างน้อยห้าชนิด คือ ยา clindamycin ยา cefepime ceftazidime ยา gentamicin และยา amikacin ของแบคทีเรีย *B. pseudomallei* เนื่องอัตราการแพร่เข้าสู่เซลล์แบคทีเรียเกิดขึ้นน้อยมาก (< 10%) หรือแพร่ผ่านไม่ได้เลย

ตารางที่ 3.2 อัตราการแพร่ผ่านสัมพัทธ์ของยาปฏิชีวนะผ่านช่อง Bps/Bth Omp38 (แหล่งที่มา: Siritapetawee et al., Biochem J, 2004b) กำหนดให้อัตราการแพร่ของ L-arabinose มีค่าเท่ากับ 100%

Antibiotic	$M_r$	Permeability rate (%)	
		Native BpsOmp38	Refolded BpsOmp38
Amikacin	782	0	0
Gentamicin	709	0	0
Ceftazidime	637	< 1	< 1
Cefepime	572	4 ± 1.6	5 ± 0.5
Clindamycin	505	8 ± 0.9	8 ± 0.5
Ciprofloxacin	421	15 ± 0.9	15 ± 0.9
Meropenem	383	20 ± 0.5	20 ± 0.5

### 3.10. ผลของ anti-BpsOmp38 antibodies ต่อการทำงานของช่องพอร์น Omp38

ทดลองส่วนสุดท้ายคือการศึกษาผลของแอนติบอดีต่ออัตราการแพร่ผ่านของสารผ่านช่องพอร์น Bps/Bth Omp 38 โดยเทคนิค liposome swelling assay หลังจากได้ทำการบ่มโปรตีนไตรเมอร์กับ anti-Omp38 polyclonal antibodies ที่ความเข้มข้นต่าง ๆ เป็นเวลา 2 ชั่วโมงที่อุณหภูมิ 37 °C และล้วงนำโปรตีนมา reconstitute เข้าไปในโพร์ติโอลิปิโซมตามวิธีที่ได้อธิบายไว้ในส่วนของการทดลอง และวัดหาอัตราการแพร่ผ่านของน้ำตาลชนิดต่าง ๆ ดังแสดงในรูปที่ 3.11



รูปที่ 3.11 ผลของ anti-Omp38 polyconal antibodies ต่ออัตราการแพร่ของสารผ่านช่องพอร์น Bps/Bth Omp38 (แหล่งที่มา: Siritapetawee et al., Biochem J, 2004b)

ผลการทดลองที่ได้เป็นไปตามที่คาดไว้ว่าอัตราการแพร่ของน้ำตาลที่ใช้ทดสอบทุกชนิดได้แก่ L-arabinose, D-glucose, D-mannose, D-galactose, D-GlcNAc, D-sucrose และ D-melizitose ลดลงเปรียบพันตามความเข้มข้นของแอนติบอดีที่เพิ่มขึ้น และคงให้เห็นว่าแอนติบอดีทำปฏิกิริยากับช่องพอร์นส่างผลทำให้คุณสมบัติการสร้างช่องพอร์นเปลี่ยนไป